

Análisis espectral de microsismicidad y ruido ambiental para el canal de aceleración vertical (ENZ)

Autor: A. Isaac P.S.
Fecha: 2025-08-07

Este cuadernillo aplica ObsPy para importar y analizar sismicidad local grabada por la red de sismógrafos de SkyNet en la Ciudad de México con el canal de aceleración vertical. Para ello, se calculan los espectros de potencia para estimar la frecuencia de esquina (corner frequency). Con `scipy.signal` se implementa un filtro que maximiza la resolución de la energía sísmica de los microsismos en nuestro flujo interno.

0. Objetivos

- Cargar una o varias trazas de velocidad en formato MiniSEED de algunos microsismos y señales de ruido de distinta naturaleza y duración.
- Pre-procesar los datos para eliminar la tendencia natural.
- Calcular espectros de amplitud/PSD usando la teoría de Fourier.
- A partir de un análisis cualitativo de los espectrogramas, estimar la frecuencia de esquina f_c .
- Proponer y probar un filtro (o el bandpassed) en torno a f_c .
- Validar los resultados del filtro aplicando STALTA con los parámetros actuales del sistema de microsismos para los cuatro canales y contabilizar el número de falsas activaciones antes y después del filtro propuesto.
- Guardar figuras y resultados clave para su integración al sistema.

1. Instalación y librerías

```
In [4]: # Importa los librerías necesarias
import numpy as np
import matplotlib.pyplot as plt
import obspy
import scipy.signal
from obspy.signal import Welch
from obspy.signal.trigger import classic_sta_sta, trigger_onset
import pandas as pd
```

2. Carga de datos

Se trabaja con los siguientes eventos:

- Traza 1: M2.7 del 27 de septiembre de 2024 (R9837).
- Traza 2: M2.9 del 27 de septiembre de 2024 (R852D).
- Traza 3: M2.0 del 7 de octubre de 2024 (RSFE1).
- Traza 4: M1.9 del 18 de noviembre de 2024 (R8604).
- Trazas 5 y 6: M1.3 del 18 de junio de 2025 (R9387 y R9387).
- Trazas 7 y 8: M2.3 del 24 de junio de 2025 (R9837 y R9387).
- Trazas 9 y 10: Trueno del 10 de agosto de 2025 (R9868 y R8712).
- Trazas 11 y 12: Ruido del 20 de agosto de 2025 (R9864 y R9387).

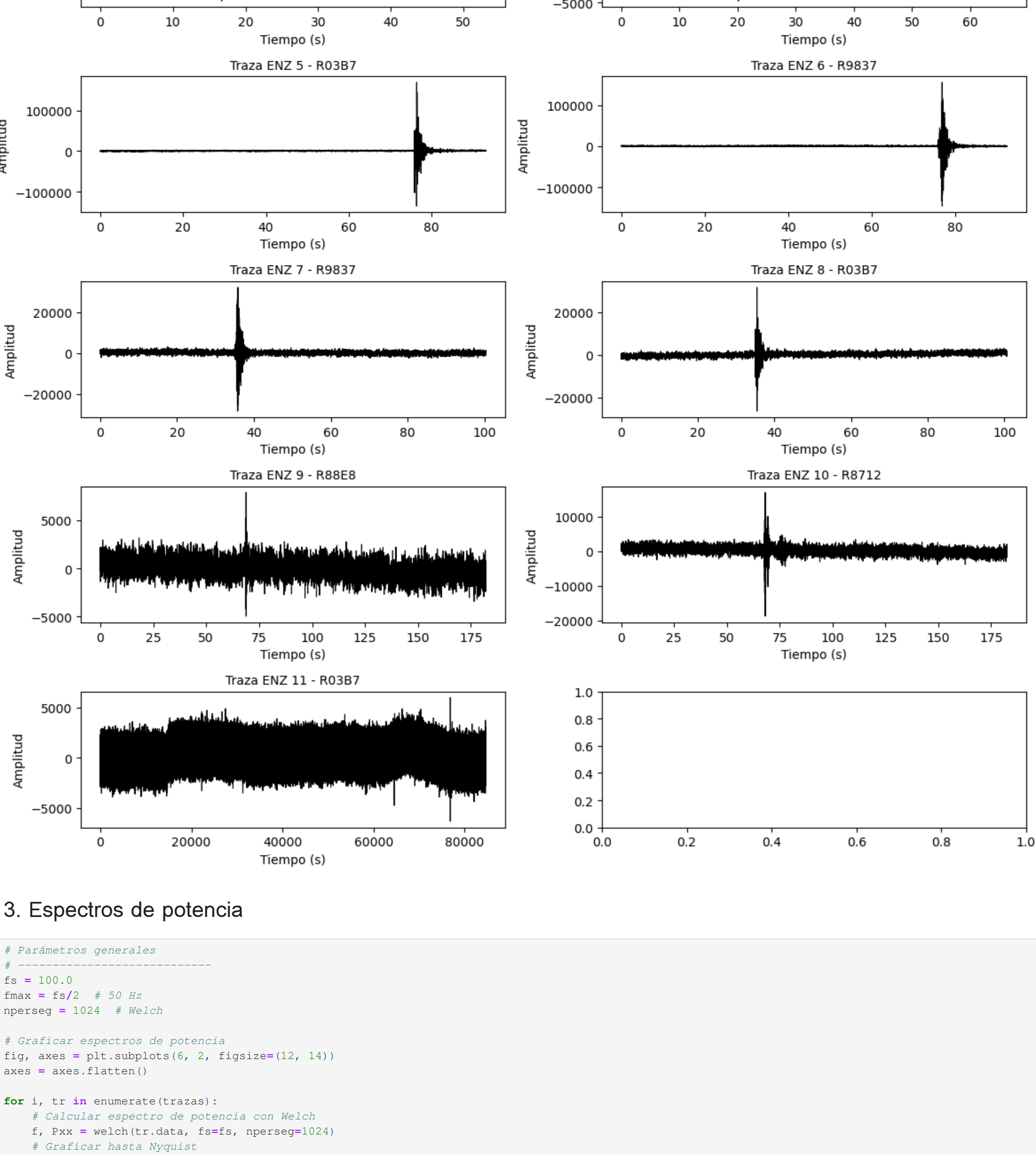
```
In [5]: # Ruta de archivos MiniSEED
ruta = ''
#Cargar Frecuencia/2023-27-sep-2024-R9837.seed*
#Cargar Frecuencia/2023-27-sep-2024-R852D.seed*
#Cargar Frecuencia/2023-07-oct-2024-RSFE1.seed*
#Cargar Frecuencia/2023-18-nov-2024-R8604.seed*
#Cargar Frecuencia/R13-18-jun-2025-R9387.seed*
#Cargar Frecuencia/R13-18-jun-2025-R9387.seed*
#Cargar Frecuencia/2023-24-jun-2025-R9837.seed*
#Cargar Frecuencia/2023-24-jun-2025-R9387.seed*
#Cargar Frecuencia/Trueno-10-ago-2025-R9868.seed*
#Cargar Frecuencia/Trueno-10-ago-2025-R8712.seed*
#Cargar Frecuencia/Ruido-20-ago-2025-R9864.seed*
#Cargar Frecuencia/Ruido-20-ago-2025-R9387.seed*

# Leer y seleccionar canal ENZ
traces = []
for ruta in rutas:
    st = read(ruta)
    st = st.select(channel="ENZ") # seleccionar solo canal ENZ
    if len(st) > 0:
        tr = st.select(station="simple") # quitar tendencia
        traces.append(tr)
```

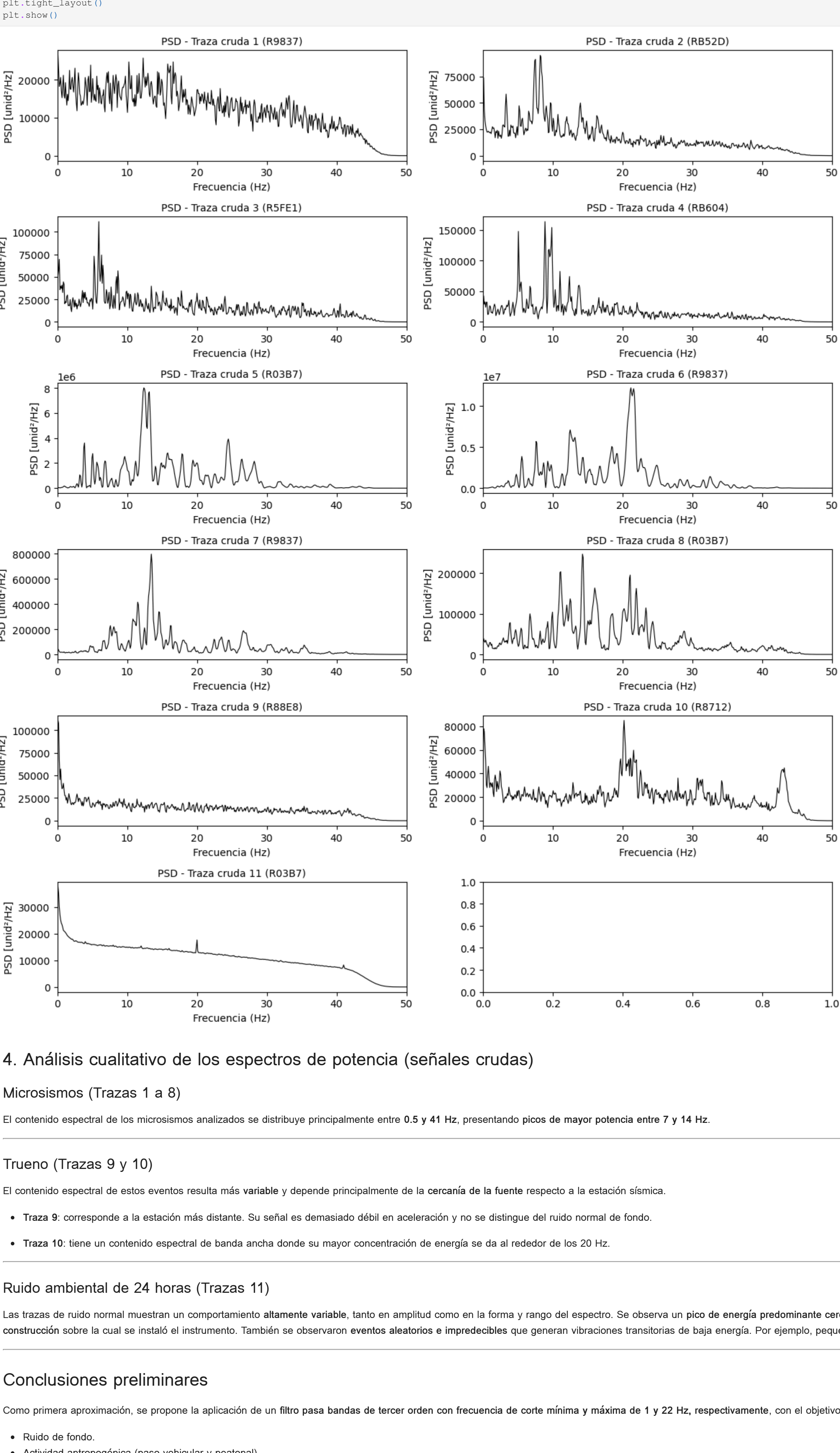
```
In [7]: # Graficar todas las trazas
fig, axes = plt.subplots(6, 2, figsize=(12, 14))
axes = axes.flatten()

for i, tr in enumerate(traces):
    t = np.linspace(0, tr.stats.npts / tr.stats.sampling_rate, tr.stats.npts)
    axes[i].plot(t, tr.data, color="black", linewidth=0.8)
    axes[i].set_title(f'Traza ENZ {i+1} - {tr.stats.station}', fontsize=10)
    axes[i].set_xlabel('Tiempo (s)')
    axes[i].set_ylabel('Amplitud')

plt.tight_layout()
plt.show()
```



3. Espectros de potencia



4. Análisis cualitativo de los espectros de potencia (señales crudas)

Microsismos (Trazas 1 a 8)

El contenido espectral de los microsismos analizados se distribuye principalmente entre 0.5 y 41 Hz, presentando picos de mayor potencia entre 7 y 14 Hz.

Trueno (Trazas 9 y 10)

El contenido espectral de estos eventos resulta más variable y depende principalmente de la cercanía de la fuente respecto a la estación sísmica.

- Traza 9 corresponde a la estación más distante. Su señal es demasiado débil en aceleración y no se distingue del ruido normal de fondo.

- Traza 10 tiene un contenido espectral de banda ancha donde su mayor concentración de energía se da al rededor de los 20 Hz.

Ruido ambiental de 24 horas (Trazas 11)

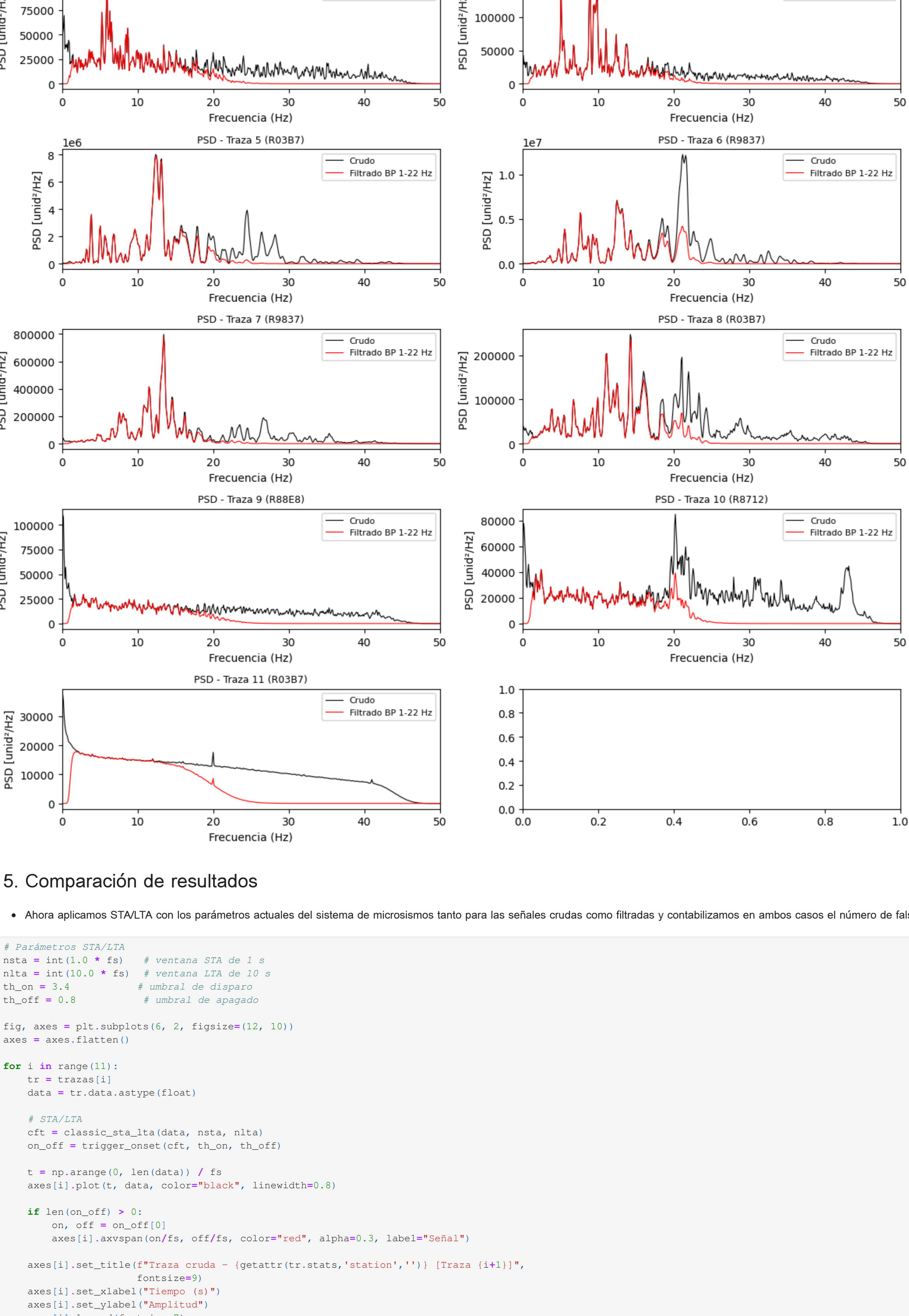
Las trazas de ruido muestran un comportamiento altamente variable, tanto en amplitud como en la forma y rango del espectro. Se observa un pico de energía predominante cercano a 1 Hz, atribuido a la respuesta instrumental, respuesta del suelo local y/o al tipo de construcción sobre la cual se instaló el instrumento. También se observaron eventos aleatorios e impredecibles que generan vibraciones transitorias de baja energía. Por ejemplo, pequeños picos en los 20 y 42 Hz.

Conclusiones preliminares

Como primera aproximación, se propone la aplicación de un filtro pasa bandas de tercer orden con frecuencia de corte mínima y máxima de 1 y 22 Hz, respectivamente, con el objetivo de atenuar el ruido asociado a:

- Ruido de fondo.
- Actividad antropogénica (paseo vehicular y peatonal).
- Fuentes atmosféricas (truenos).
- Otras vibraciones impulsivas de corta duración.

4. Aplicación del filtro



5. Comparación de resultados

- Ahora aplicamos STALTA con los parámetros actuales del sistema de microsismos tanto para las señales crudas como filtradas y contabilizamos en ambos casos el número de falsas activaciones.

```
In [15]: # Parámetros STALTA
nsta = int(10.0 * fs) # ventana STA de 10 s
nsta = int(10.0 * fs) # ventana STA de 10 s
th_low = 3.0 # umbral de disparo
th_off = 0.8

fig, axes = plt.subplots(6, 2, figsize=(12, 14))
axes = axes.flatten()

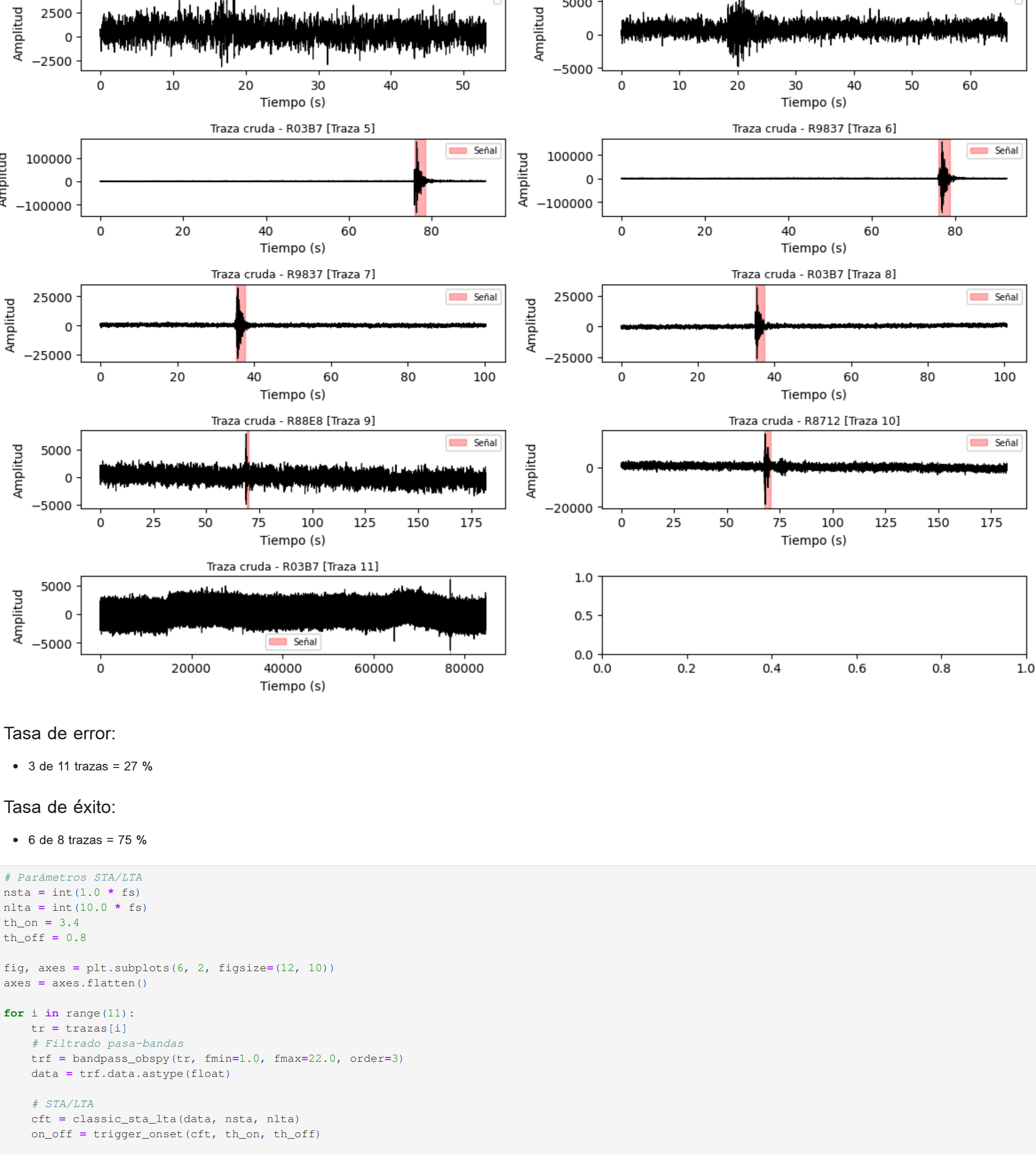
for i, tr in enumerate(traces):
    tr = tr.copy()
    # Filtro pasa-banda
    tr_f = bandpass_obsipy(tr, fmin=0.0, fmax=22.0, order=3)
    data = tr_f.data.astype(float)

    # STA/STA
    sta = classic_sta_sta(data, nsta, nsta)
    on_off = trigger_onset(sta, th_low, th_off)

    t = np.arange(0, len(data)) / fs
    axes[i].plot(t, data, color='black', linewidth=0.8)
    if len(on_off) > 0:
        on_off = on_off[0]
        axes[i].axvspan(on_off, off/fs, color='red', alpha=0.5, label='Bomba')

    axes[i].set_title(f'Traza filtrada BP 1-22 Hz (orden 3) - {tr.stats.station}, "{tr.stats.id}"', fontsize=10)
    axes[i].set_xlabel('Tiempo (s)')
    axes[i].set_ylabel('Amplitud')
    axes[i].legend(fontsize=7)

plt.tight_layout()
plt.show()
```



Tasa de error:

- 3 de 11 trazas = 27 %

Tasa de éxito:

- 6 de 8 trazas = 75 %

```
In [17]: # Parámetros STALTA
nsta = int(10.0 * fs) # ventana STA de 10 s
nsta = int(10.0 * fs) # ventana STA de 10 s
th_low = 3.0 # umbral de disparo
th_off = 0.8

fig, axes = plt.subplots(6, 2, figsize=(12, 14))
axes = axes.flatten()

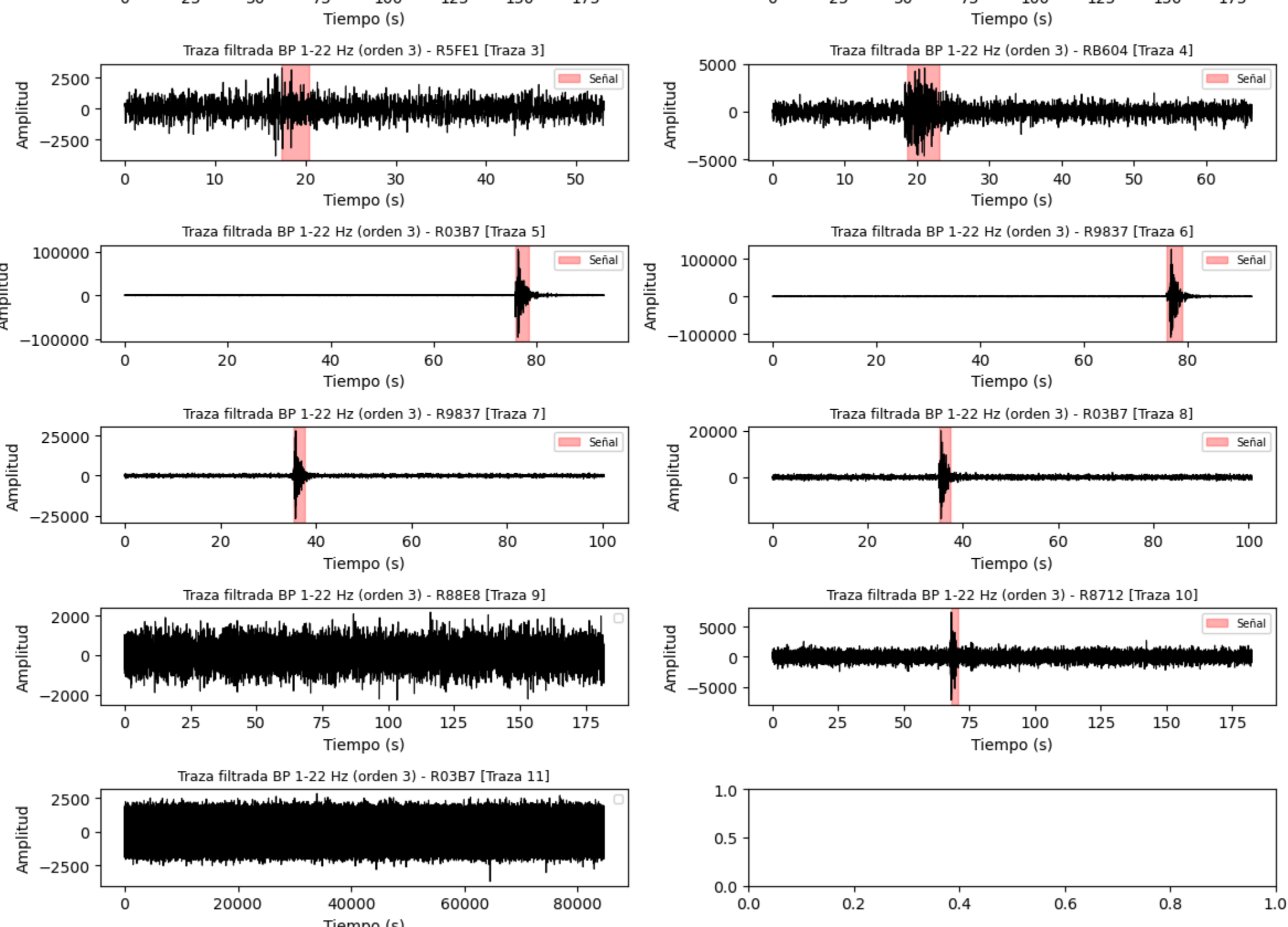
for i, tr in enumerate(traces):
    tr = tr.copy()
    # Filtro pasa-banda
    tr_f = bandpass_obsipy(tr, fmin=0.0, fmax=22.0, order=3)
    data = tr_f.data.astype(float)

    # STA/STA
    sta = classic_sta_sta(data, nsta, nsta)
    on_off = trigger_onset(sta, th_low, th_off)

    t = np.arange(0, len(data)) / fs
    axes[i].plot(t, data, color='black', linewidth=0.8)
    if len(on_off) > 0:
        on_off = on_off[0]
        axes[i].axvspan(on_off, off/fs, color='red', alpha=0.5, label='Bomba')

    axes[i].set_title(f'Traza filtrada BP 1-22 Hz (orden 3) - {tr.stats.station}, "{tr.stats.id}"', fontsize=10)
    axes[i].set_xlabel('Tiempo (s)')
    axes[i].set_ylabel('Amplitud')
    axes[i].legend(fontsize=7)

plt.tight_layout()
plt.show()
```



Tasa de error:

- 1 de 11 trazas = 9 %

Tasa de éxito:

- 6 de 8 trazas = 100 %

10. Notas y recomendaciones

Se recomienda aplicar este algoritmo de detección de Ad mismo de preprocesamiento previo a la transformada STALTA en el geófono vertical, ya que se observa un aumento considerable en la tasa de éxito para cazar microsismos (ejemplo trazas 3 y 4) los cuales antes del filtrado no eran reconocibles por el filtro como parte de Ad mismo se llegó a una reducción de las falsas activaciones con una tasa de error del 9 %.

Referencias breves

- Ali & Richards (2002). Quantitative Seismology.

